

On Heegaard diagrams of S^3

筑波大 数学系 金子 武司

0. 序

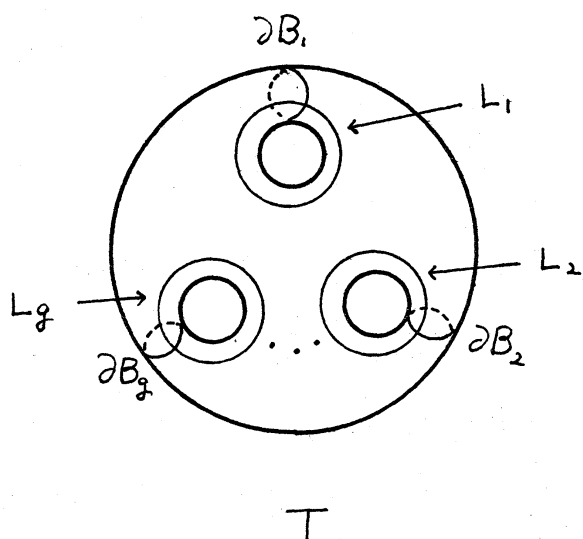
二つの話題について述べる。最初に, S^3 の Heegaard diagram による基本群の表示に関する一つの reduction theorem を一般の種数について示し, これを種数 2 の場合に適用して, relators の相互代入による表示の簡略化の可能性 (c.f. [3], [4], [5]) についての現状を報告する。

次に, 相互代入は代数的 (or homotopy 的な) 性質であるが, 直接, diagram を幾何的に簡略化する手法として, wave ([10], [1] or cut-vertex in [11]) の概念がある。両者の関係について, 種数 3 以上では互に独立であることを例によって示す。

1. A reduction theorem

M を向き付け可能な 3 次元閉多様体, Γ を種数 g の

solid torus, ∂T をその境界とする。 T の標準的
な longitudinal system 及び meridian system
を、それぞれ、 $\alpha = \{L_1, \dots, L_g\}$, $\beta = \{\partial B_1, \dots, \partial B_g\}$
とする。(下図参考)



$D = (\partial T; C_1, C_2)$ を M (を表わす一つ) の
Heegaard diagram (正確な定義は [1] 参照) とする。
 C_2 の各 loop に沿って C_1 の各 loop との交わりを順に
読み取って得られる $\pi_1(M)$ の表示を $\pi_1(D) = \langle a_1, \dots, a_g; r_1, \dots, r_g \rangle$ とする。各 relator r_i は文字 a_1^\pm, \dots, a_g^\pm
による word である。 r_i の cyclically reduced
form を \tilde{r}_i とする。(i.e. \tilde{r}_i はどんな cyclic
permutation を施しても $a_j a_j^{-1}$ or $a_j^{-1} a_j$ のような

部分を含まない。) $\pi_1(D)$ の cyclically reduced form, i.e. $\langle a_1, \dots, a_g; \tilde{r}_1, \dots, \tilde{r}_g \rangle$ を $\widetilde{\pi}_1(D)$ と書くことにする。

定理1. S^3 の任意の Heegaard diagram $D = (\partial T; C_1, C_2)$ に対し, S^3 の Heegaard diagram D_0 で次を満たすものが存在する:

(1) $D_0 = (\partial T; \emptyset, \varphi_0 \# \emptyset)$ ($\equiv (\partial T; h\bar{a}, \emptyset)$, \equiv は同値の意), ここで φ_0 は S^3 の標準的な Heegaard sewing, i.e. ∂T 上の向きを保つ homeomorphism で $\varphi_0(\partial B_i) = L_i$. 又, h は T 上の向きを保つ homeomorphism.

(2) $\widetilde{\pi}_1(D_0) \equiv \widetilde{\pi}_1(D)$, ここで \equiv は relators の cyclic permutation および inversion による違ひを除いて等しいの意。

注. 一般に S^3 の Heegaard diagram D は同値な diagram $\varphi D = (\partial T; \varphi C_1, \varphi C_2)$ (φ は ∂T 上の向きを保つ homeomorphism) で $\varphi D = (\partial T; \emptyset, g\varphi f \emptyset) \dots \textcircled{1}$ (f, g は T 上の向きを保つ homeomorphism) の形

に出来る (Waldhausen)。定理 1 の主張は「cyclically reduced presentation $\widehat{\pi}_1(D)$ を考へる上では、①において、更に、 $g=1$ として良い」ということである。

定理の証明のため、命題を一つ用意する。

命題. D を Heegaard diagram $(\partial T; \theta, C)$ とし、cyclically reduced presentation $\widehat{\pi}_1(D) = \langle a_1, \dots, a_g; \tilde{r}_1, \dots, \tilde{r}_g \rangle$ の各 relator \tilde{r}_i を表わす word を $W_i(a_1, \dots, a_g)$ とする。このとき、任意の向きを保つ homeomorphism $g: T \rightarrow T$ について得られる Heegaard diagram $D_1 = (\partial T; \theta, gC)$ に対し、 $\#$ の cyclically reduced presentation $\widehat{\pi}_1(D_1)$ は $\langle a_1, \dots, a_g; \tilde{r}'_1, \dots, \tilde{r}'_g \rangle$ ($\# = 1$, $\tilde{r}'_i = W_i(g\#(a_1), \dots, g\#(a_g))$), 但し、 $g\#$ は $\pi_1(T) = \langle a_1, \dots, a_g \rangle$ 上の induced isomorphism で与えられる。

証明. $\widehat{\pi}_1(D_1)$ の定義より、直接、導かれる (c.f. [3], [4])。

定理 1 の証明.

注より、 $D = (\partial T; \theta, g\# f \theta)$ としてよい。

Suzuki [9] に より, g は S -generator (i.e. $\{P^\pm, \omega_1^\pm, P_{12}^\pm, \gamma_1^\pm, \theta_{12}^\pm, \tilde{\gamma}_{12}^\pm\}$ cf. [9]) の
積 $g_n \cdots g_1$ と isotopic. cyclically reduced presentation は isotopy invariant だから,

$$\widehat{\pi}_1(D) = \widehat{\pi}_1((\partial T; \emptyset, g_n \cdots g_1, g_0 \circ \emptyset))$$

ここで, $\gamma_1^\pm \# = 1$, $\tilde{\gamma}_{12}^\pm \# = 1$ に 注意すれば, 前命題
より, g_n, \dots, g_1 には $\gamma_1^\pm, \tilde{\gamma}_{12}^\pm$ は含まれてないとして
しよう。i.e. $g_n, \dots, g_1 \in \{P^\pm, \omega_1^\pm, P_{12}^\pm, \theta_{12}^\pm\}$
従って, $g_0^{-1} g_n \cdots g_1 g_0 : \partial T \rightarrow \partial T$ は T 上の
向きを保つ homeomorphism $g' : T \rightarrow T$ に 拡張
できる。なぜなら, 各 $g_0^{-1} g_i g_0$ が 拡張可能だから
。 (より幾何的には, T が S^3 に標準的に埋め込まれてるとすると, g_i は S^3 上の homeomorphism
に 拡張できることに 対応する。) さて,

$$\begin{aligned} g_n \cdots g_1 g_0 f &= g_0 (g_0^{-1} g_n \cdots g_1 g_0) f \\ &= g_0 g' f \end{aligned}$$

となり, $h = g' f$ を うる。

参考。 定理 1 は [5] の最後で, 「問題 2 や
問題 1 は どう遠くなつようと思われる」と 述べたこと
が 正しいことを意味している。

2. S^3 の 種数 2 の Heegaard diagrams の応用

定義. words W_1, W_1', W_2 が $W_1 = W_1'W_2$ を満たすとき, $\{W_1, W_2\}$ は 代入 に ェリ $\{W_1', W_2\}$ に 変形 できることをいへ, $\{W_1, W_2\} \xrightarrow{S} \{W_1', W_2\}$ と書く.

次の問題 (cf. [4], [5]) を 考えよ。

問題. S^3 の 任意の 種数 2 の Heegaard diagram D に ± 3 cyclically reduced presentation $\widetilde{\pi}_1(D)$
 $= \langle a_1, a_2; \widetilde{r}_1, \widetilde{r}_2 \rangle = \langle a_1, a_2; W_1, W_2 \rangle$ (\equiv ,
 $\{\widetilde{r}_1, \widetilde{r}_2\} = \{W_1, W_2\}$) に 対し, 代入 $\{W_1, W_2\} \xrightarrow{S} \{W_1', W_2\}$ で 次を満たすものが 存在するか?

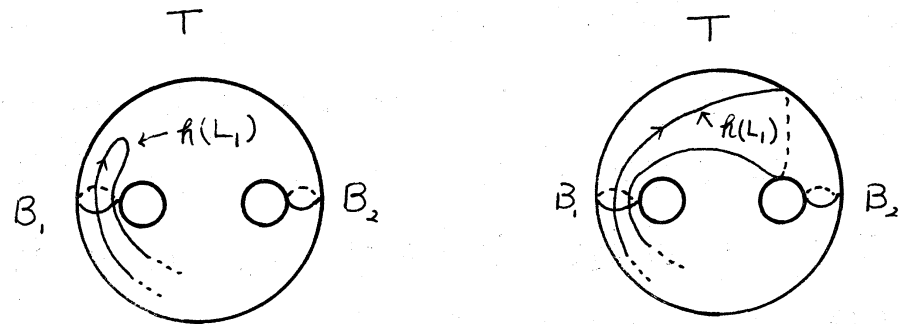
(*) $\left(\begin{array}{l} \{W_1', W_2\} \text{ の cyclically reduced form} \\ \{\widetilde{W}_1', W_2\} \text{ は } S^3 \text{ の Heegaard dia-} \\ \text{gram } D, \text{ の cyclically reduced pre-} \\ \text{sentation } \widetilde{\pi}_1(D) = \langle a_1, a_2; \widetilde{r}_1', \widetilde{r}_2' \rangle \text{ の} \\ \text{set of relators } \{\widetilde{r}_1', \widetilde{r}_2'\} \text{ に 対応す。} \end{array} \right)$

注. 肯定的解決は 「 S^3 の 種数 2 の Heegaard diagram に ± 3 基本群の 表示は, cyclic reduction

, cyclic permutation, inversion 並び代入の繰り返しにより, trivial presentation $\langle a_1, a_2; a_1, a_2 \rangle$ に変形できる。」(cf. [4]) を含む。

以下, この問題に対する現状を述べる。

定理より, 一般の場合 $(\partial T; \theta, g \circ f \circ \theta)$ が特別の場合 $(\partial T; \alpha \alpha, \theta)$ ($= D$ とおく。) に帰着された。これは, 更に, loop $\alpha(L_i)$ ($i=1, 2$) に沿って, B_1, B_2 との交わりを読んで得られる word $W(\alpha(L_i)) = W_i(\theta_1, \theta_2)$ ($W_i(\theta_1, \theta_2)$ は文字 $\theta_1^\pm, \theta_2^\pm$ による word)。i.e. $\tilde{\pi}_1(D)$ をうるとき θ の各 loop に沿って読むのと区別して, $\alpha(\theta)$ の各 loop に沿って読む場合, 文字 a_1^\pm, a_2^\pm に代えて, 文字 $\theta_1^\pm, \theta_2^\pm$ を用ひることにする。) の様子によって, 次の二つの場合に分けられる。まず, $W(\alpha(L_i))$ には isotopy で除ける annihilation part ($\theta_j \theta_j^{-1}$ or $\theta_j^{-1} \theta_j$; 並び cyclic sense で $\theta_j \dots \theta_j^{-1}, \theta_j^{-1} \dots \theta_j$, cf. 下図) は含まれるものとする。(isotopy による変形は cyclically reduced presentation $\tilde{\pi}_1(D)$ に果た繰りをうながす。)



isotopy T で除けた annihilation part θ, θ^{-1} を含む
(この場合ははじめから除外する)

isotopy T では除けない
annihilation part
 θ, θ^{-1} を含む
(この場合は起り得る)

Case 1. $W(h(L_1)), W(h(L_2))$ はどちらも annihilation part (cyclic sense で) を持たない, i.e. cyclically reduced である。

Case 2. $W(h(L_1)), W(h(L_2))$ は少なくとも一方が cyclically reduced である。

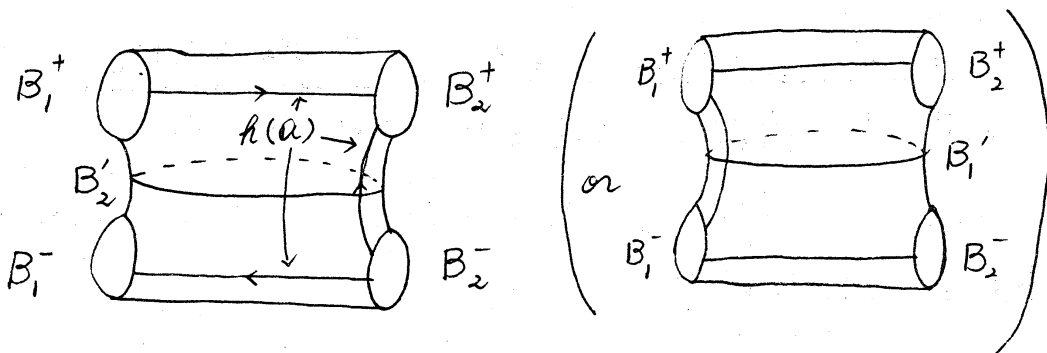
Case 1. について、問題は肯定的に解決される。

実際、[5]'により、 $\{W(h(L_1)), W(h(L_2))\}$ の cyclically reduced form は cyclic permutation & inversion の \leftrightarrow を除いて、

$$\{a, a_2^{\alpha_1} \dots a, a_2^{\alpha_k}, a, a_2^{\beta_1} \dots a, a_2^{\beta_k}\}$$

(α は. $\{a_1^{\alpha_1}a_2 \dots a_1^{\alpha_k}a_2, a_1^{\beta_1}a_2 \dots a_1^{\beta_k}a_2\}$)

(ニニに, すべての指数 $\alpha_1, \dots, \alpha_k, \beta_1, \dots, \beta_k$ は 0 より
はなく, 同符号をもつ.) と表わされる。今, $W(\mathcal{A}(L_1))$,
 $W(\mathcal{A}(L_2))$ はともに cyclically reduced だから,
 ∂T を θ より切り開いて得られる cut diagram
 $(\partial T - \theta, h\alpha - \theta)$ は up to homeomorphism
で, 下図の type となり. したがって, $\alpha_1, \dots, \alpha_k, \beta_1,$



(ニニに, 図上の arcs は一般には parallel な)
複数の arcs を表わして. たゞ.

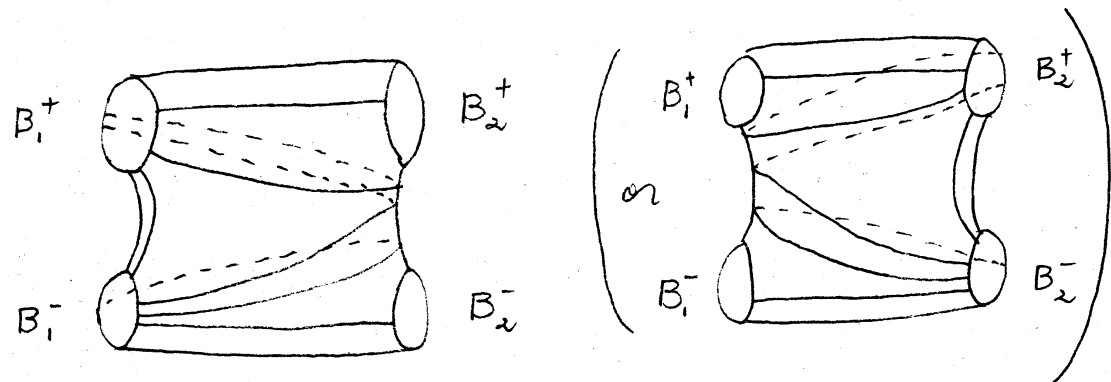
\dots, β_k が同符号をもつことから, 図上の parallel
arcs は同じ向きをもつ。従って, $\pi_1(D) = \langle a_1, a_2; r_1,$
 $r_2 \rangle$ において, $\partial B_1, \partial B_2$ に沿った $h(a)$ との交わり
の読み方 r_1, r_2 はそれぞれ cyclically reduced
i.e. $\tilde{r}_1 = r_1, \tilde{r}_2 = r_2$ で, 図より明らかに,
 r_1 は r_2 に (or, r_2 は r_1 に) 代入でき, 更に代
入により縮小された word は図中に示めされた

新たに meridian curve $\partial B_2'$ (or $\partial B_1'$) に沿った読みで得られるが、 $D_1 = (\partial T; \kappa(A), \{B_1, B_2'\})$ (or $= (\partial T; \kappa(A), \{B_1', B_2\})$) が求める Heegaard diagram である。 (D_1, t) と Case 1 とあることと注意すれば、Case 1 では、代入の操作を逆して、trivial presentation $\langle a_1, a_2; a_1, a_2 \rangle$ に変形できることがわかる。)

Case 2. 現在のところ不明である。

以下、その困難さの所在について触れておこう。

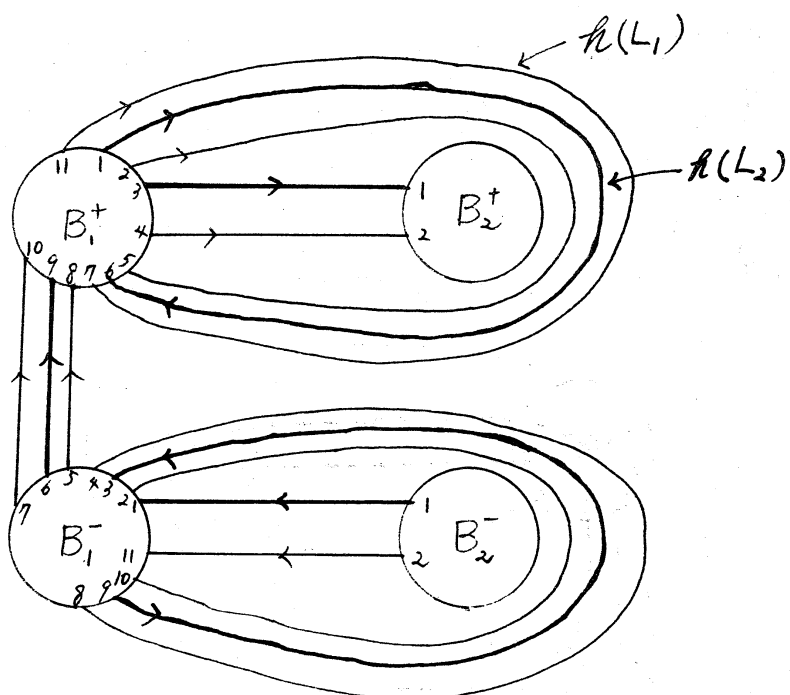
Case 1 と同様に、 ∂B_1 , ∂B_2 による cut diagram を示せば、次の形である。



この場合の本質的な困難は Case 1 と違って、parallel arcs が異なる向きをもろ得ることにある。従って、 ∂B_1 , ∂B_2 に沿った読みで r_1, r_2 は一般には、cyclically

reduced ではない、それ故、cut diagram が \tilde{r}_2 が r_1 (or r_1 が \tilde{r}_2) に代入可能なと言えども、cyclically reduced form \tilde{r}_1 , \tilde{r}_2 については不明である。実際、次の例は「 \tilde{r}_2 は r_1 に代入可能であるが、 \tilde{r}_1 は \tilde{r}_2 に代入不能」である。(しかし、 \tilde{r}_1 は \tilde{r}_2 に代入可能で、問題題の反例ではない。)

例. 1. ($S^3 \models \cdots$)



$$D = (\partial T; r(\alpha), \theta)$$

$$\pi_1(D) = \langle a_1, a_2; r_1, r_2 \rangle$$

$$r_1 = a_2 a, \underline{a_2 a_1}, a_1^{-1} a_2^{-1} a, a_1^{-1} a_1^{-1} a_2^{-1} a, a_1^{-1} a,$$

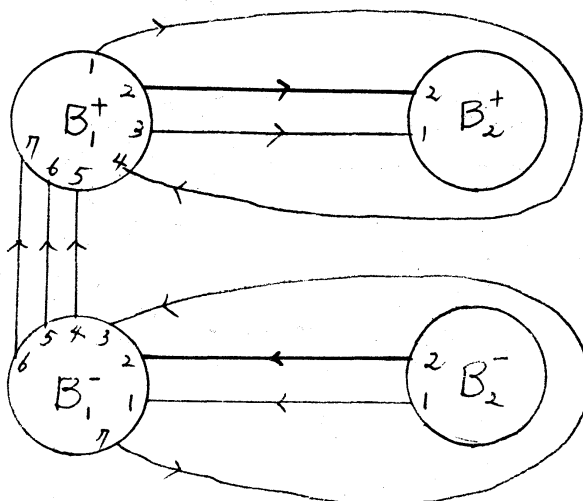
$$r_2 = a_2 a_1$$

$$\widehat{r_1} = a_1^{-1}, \quad \widehat{r_2} = r_2 = a_2 a_1$$

cut diagram の S, 明らかに, r_2 は r_1 , 1-代入で,
 $\{r_1, r_2\} \xrightarrow{S} \{a_2 a, a_1^{-1} a_2^{-1} a_1^{-1} a, a_2^{-1} a_1^{-1} a_1, a_2 a\}$
 のみが, \widetilde{F}_2 は \widetilde{F}_1 1-subword として含まれない
 i.e 代入でない。

参考. S^3 の Heegaard diagram に限らず一般には、complete words r_1, r_2 と τ のみ代入可能で、cyclically reduced words \tilde{r}_1, \tilde{r}_2 と τ では相互代入が不可能な例がある。(次の例 2.)

例2. (Lens space $L(3,1)$ について)



$$\begin{vmatrix} -2 & 1 \\ 1 & 1 \end{vmatrix} = -3$$

$$r_1 = \underline{a_1 a_2} \ a_1 a_1^{-1}, \quad r_2 = a_1 a_2, \quad \widetilde{r_1} = a_1^{-2} a_2, \quad \widetilde{r_2} = a_1 a_2$$

cut diagram が S, r_2 は r , i = 代入 で "き,

$$\{r_1, r_2\} \xrightarrow{\delta} \{a, a^{-4}, a, a\}$$

であるが, $\{\hat{r}_1, \hat{r}_2\}$ は 相互代入 不可。

3. wave と 相互代入 の 独立 性

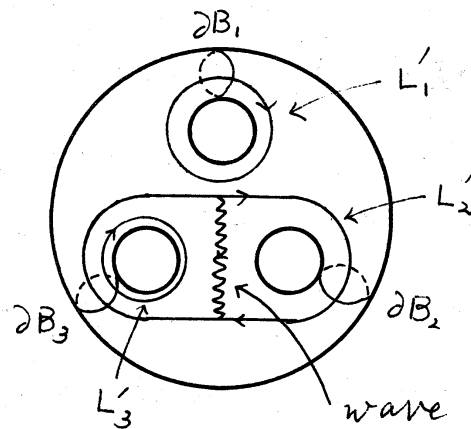
幾何的に Heegaard diagram の交点数を減らすような meridian curve の取り直しの簡単な方法として, 「wave」(cf. [10] [1] or Whitehead graph における cut vertex [11]) の概念がある。 S^3 の種数 2 の Heegaard diagrams については, 交点数が 3 以上 のとき, 常に wave が存在する ([2]) が, 種数 3 以上 のときは, 種数を越える交点数をもつ diagram で wave が存在しない例 ([12], [6], [8], [4]) が 知られてる。面白いことに, これらの例 ([4] を除く) はすべて, 其の cyclically reduced presentation の relators において 相互代入 が 不能 な例 にもなってる。そこで, 「wave が なければ, relators の 相互代入 は 不能 か」という 自然な問題 が 生じた。ヨリ一般に, 幾何的な 概念, wave と 代数的な 概念, 相互代入 の 間 の 関係 が 問われた。これにつ

て、次を得た。

定理2. S^3 の種数3以上のHeegaard diagrams について、二つの概念 wave と相互代入は独立である。

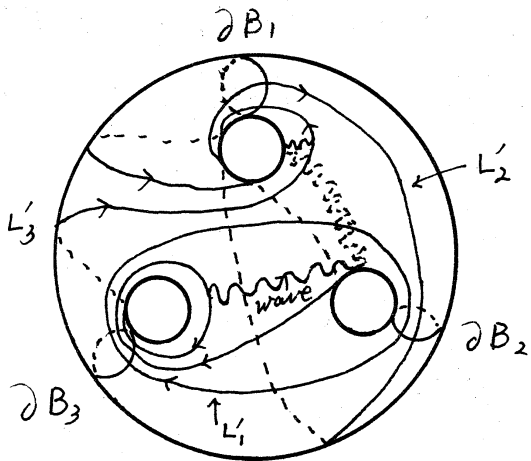
証明. 以下の種数3の例によって示めされ。種数4以上については種数1の自明な diagram $\ominus\ominus$ を connected sum すればよし。

例1.3. wave が存在しがつ代入可能な例。



$$r_1 = a_1, \quad r_2 = a_2, \quad r_3 = \underline{a_2 a_3}, \quad r_2 \text{ は } r_3 \text{ に代入可。}$$

例4. wave が存在するが代入不能な例。



∂B_i に沿った読み :

$$r_1 = a_2 a_3^{-1} (= \tilde{r}_1)$$

$$r_2 = a_2 a_1 (= \tilde{r}_2)$$

$$r_3 = a_1 a_3^2 (= \tilde{r}_3)$$

L'_i に沿った読み :

$$r'_1 = a_2 a_3 (= \tilde{r}'_1)$$

$$r'_2 = a_1 a_2 (= \tilde{r}'_2)$$

$$r'_3 = a_3^2 a_1^{-1} (= \tilde{r}'_3)$$

注。二の diagram は $(\partial T; \theta, g\alpha) (= (\partial T; \theta, g\varphi\theta))$ (ここに, g は T 上の向きを保つ homeomorphism) の type であり, 種数 2 ではこの type は s_3 cyclically reduced presentation は, 常に代入可能 ([5]) であると比較すると, 一層興味深い例である。

例 5. wave は存在しないが代入可能

例。 ([4] の Example 3)

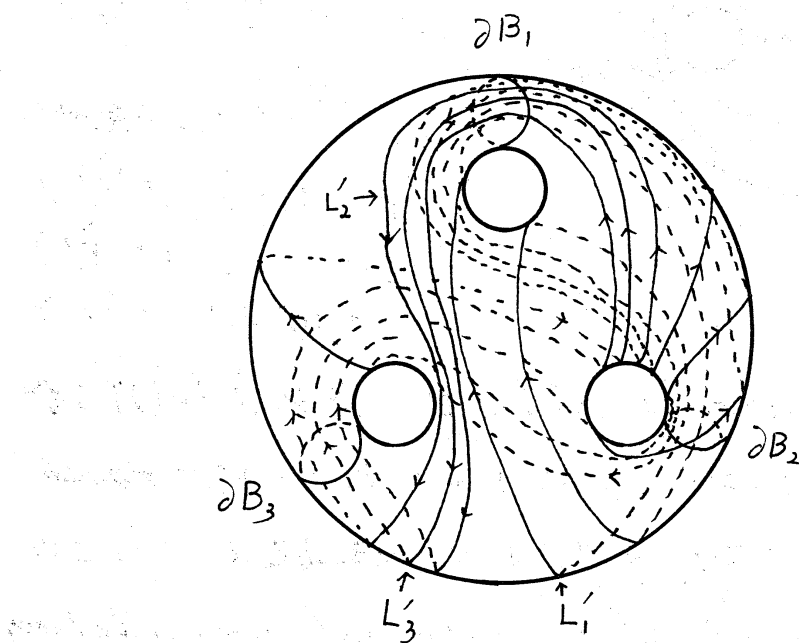
∂B_i に沿った読み : $r_1 = a_3^{-1} a_2^{-1} a_1 a_3^{-1} a_2^{-3} (= \tilde{r}_1)$

$r_2 = a_3^{-1} a_2^{-1} a_3 a_1^2 (= \tilde{r}_2)$, $r_3 = a_3 a_2^2 (= \tilde{r}_3)$

r_3 に inversion & cyclic permutation を施す

ば、 $a_3^{-1}a_2^{-2}$ となり、 r_1, r_2 は代入可能。

L'_1 は沿った読み： $r'_1 = a_1 a_2^2 (= \widehat{r'_1})$ ， $r'_2 = a_3 a_1^{-1} a_3 a_2^{-1} a_1^{-3} (= \widehat{r'_2})$ ， $r'_3 = a_3 a_2^{-1} a_1^{-1} a_2 a_1^{-1} (= \widehat{r'_3})$ 。これらは相互代入不可。



例. 6. wave は存在せず、かつ代入不能な例。
[12], [7] (以上、種数3), [8] (種数4) の例がこの例にもなっていふ。

参考文献

- [1]. J. S. Birman, Heegaard splittings,
Diagrams and Laminations for closed

orientable 3-manifolds, Lecture notes
for CBMS conference at Oct. 8~12,
1977.

- [2] T. Homma, M. Ochiai and M. Takahashi,
An algorithm for recognizing S^3 in
3-manifold with Heegaard splittings of
genus two, (to appear)
- [3] T. Kaneto, S^3 の Heegaard 分解 $1 \sqcup 3$
 π_1 の表示について, 数理研講究録 297
(1977), 69-84.
- [4] —————, On presentations of the
fundamental group of the 3-sphere
associated with Heegaard diagrams,
J. math. Soc. Japan (To appear)
- [5] —————, S^3 の 種数 2 の Heegaard
diagrams に対する 基本群の表示について,
数理研講究録, 369 (1979), 144-163
- [5]' —————, A characterization of
the special loops on a genus 2 solid
torus, preprint
- [6] O. Morikawa, Poincaré 予想 $1 \sqcup 3$

computer 実験 (反例を求めて), 數理
研講究録 346 (1979), 29-58

- [7] —————, A counterexample to a conjecture of Whitehead, Math. Sem. Notes Kobe Univ., (to appear)
- [8] M. Ochiai, A counterexample to a conjecture of Whitehead and Volodin-Kuznetsov-Fomenko, J. Math. Soc. Japan, vol 31 (1979), 687-691
- [9] S. Suzuki, On homeomorphisms of a 3-dimensional handlebody, Can. J. Math. 29 (1977), 111-124
- [10] I.A. Volodin, V.E. Kuznetsov and A.T. Fomenko, The problem of discriminating algorithmically the standard three-dimensional sphere, Russian Math. Surveys, 29;5 (1974), 71-172
- [11] J.H.C. Whitehead, On certain sets of elements in a free group, London Math. Soc (2) 41 (1936), 48-56
- [12] O.Ja. Viro and Kobel'skiĭ, V.L., The

Volodin - Kuznetsov - Fomenko conjecture on Heegaard diagrams is false
, Uspehi Mat. Nauk 32 (1977) №.5
(197), 175-176